Arch. Pharm. (Weinheim) 313, 208-215 (1980)

# Nucleophile Addition von N,N'-Dimethylbenzamidin an aktivierte Doppelbindungen

Klaus Hartke\* und Hans-Michael Wolff

Institut für Pharmazeutische Chemie der Universität Marburg, Marbacher Weg 6, D-3550 Marburg/Lahn

Eingegangen am 22. Mai 1979

Die Umsetzung von Ethoxymethylenmalodinitril (1) mit N,N'-Dimethylbenzamidin (4) führt zum zwitterionischen 2:1 Primäraddukt 5, das beim Kochen in Ethanol zum ungeladenen Strukturisomer 6, beim Kochen in Methanol zu 7 umlagert. Die Strukturen von 5, 6 und 7 werden durch <sup>1</sup>H-NMR-und <sup>13</sup>C-NMR-Spektren abgesichert. Mit Propiolsäureethylester (13) reagiert N,N'-Dimethylbenzamidin (4) zum Michaeladdukt 14.

### Nucleophilic Addition of N,N'-Dimethylbenzamidine to Activated Double Bonds

Reaction of (ethoxymethylene)malodinitrile (1) with N,N'-dimethylbenzamidine (4) leads primarily to the formation of the zwitterionic 2: 1 adduct 5, which rearranges in boiling ethanol to yield the uncharged structural isomer 6. In boiling methanol compound 7 is formed. The structures of 5, 6 and 7 were determined by  $^{1}$ H-NMR and  $^{13}$ C-NMR spectroscopy. N,N'-dimethylbenzamidine (4) reacts with ethyl propiolate (13) to yield the Michael adduct 14.

Zu den bekanntesten Pyrimidinsynthesen gehört die Kondensation von Amidinen mit Alkoxymethylenmalonsäurederivaten. So entstehen aus N-unsubstituierten Amidinen und Ethoxymethylenmalodinitril (1) 4-Amino-5-cyanopyrimidine<sup>1)</sup> 2, deren o-Aminonitrilgruppierung sich für weitere strukturelle Abwandlungen besonders gut eignet. Die Reaktion von N,N'-dialkylsubstituierten Amidinen mit 1 ist u. W. bisher noch nicht beschrieben worden. Wir erwarteten bei der Umsetzung von 1 mit N,N'-Dimethylbenzamidin (4) das Substitutionsprodukt 3, das sich möglicherweise durch eine schnelle 1,3-Wanderung der Methylenmalonitrilgruppe auszeichnen sollte. 1 und 4 reagieren bereits bei –60° miteinander; dabei entsteht jedoch nicht das 1:1 Produkt 3, sondern ein 2:1 Produkt, für das wir aufgrund seiner spektroskopischen Daten und chemischen Eigenschaften die zwitterionische Struktur 5 vorschlagen. (Formel S. 209)

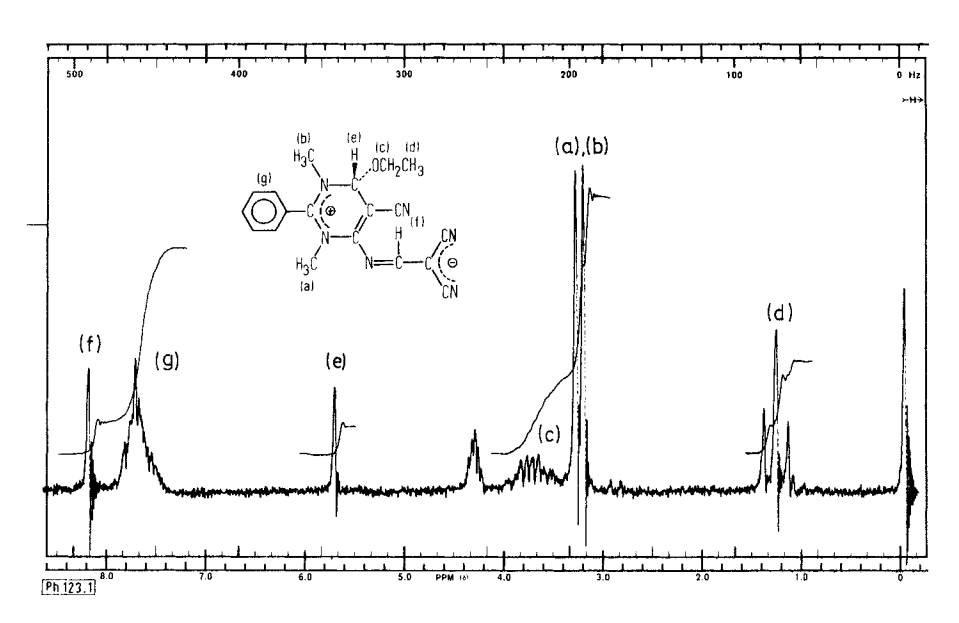
Das bei tiefen Temperaturen in Methylenchlorid schwerlösliche 5 zersetzt sich bereits bei Raumtemperatur. In Lösung erfolgt dabei die spektroskopisch zu verfolgende langsame Umlagerung zum ungeladenen Amidaminal 6, das präparativ durch Kochen von 5 in Ethanol zu erhalten ist. Die analoge Methoxyverbindung 7 läßt sich entsprechend aus 5 in siedendem Methanol gewinnen.

0365-6233/80/0303-0208 \$ 02.50/0

<sup>©</sup> Verlag Chemie, GmbH, Weinheim 1980

In den <sup>1</sup>H-NMR-Spektren von 5 und 6, die in den Abb. 1 und 2 gegenübergestellt sind, erscheinen die magnetisch nicht äquivalenten N-CH<sub>3</sub>-Protonen sowie die Phenylprotonen des Benzamidiniumsystems von 5 gegenüber dem ungeladenen Strukturisomer 6 erwartungsgemäß bei etwas tieferem Feld. Auffallend ist ferner die große Verschiebungsdifferenz für das Methinproton (e), das in 5 an ein sp<sup>3</sup>-C-Atom, in 6 hingegen an ein sp<sup>2</sup>-C-Atom gebunden ist und das Multiplett (c) der diastereotopen Methylenprotonen der Ethoxygruppe in 5.

Versetzt man eine Lösung von 5, 6 oder 7 in CDCl<sub>3</sub> mit Trifluoressigsäure, so entsteht das Salz 8, das allerdings nicht unzersetzt isoliert werden konnte, auch nicht mit einem anderen Anion bei Verwendung von Chlorwasserstoff oder wasserfreier Tetrafluorborsäure. Für die Bildung von 8 im sauren Milieu sprechen die signifikante paramagnetische Verschiebung der N-Methylprotonen (um 0,5 ppm gegenüber 5 und um 0,8 ppm



**Abb. 1:**  $^{1}\text{H-NMR-Spektrum von 5}$  in  $\text{CD}_{3}\text{NO}_{2}$ 

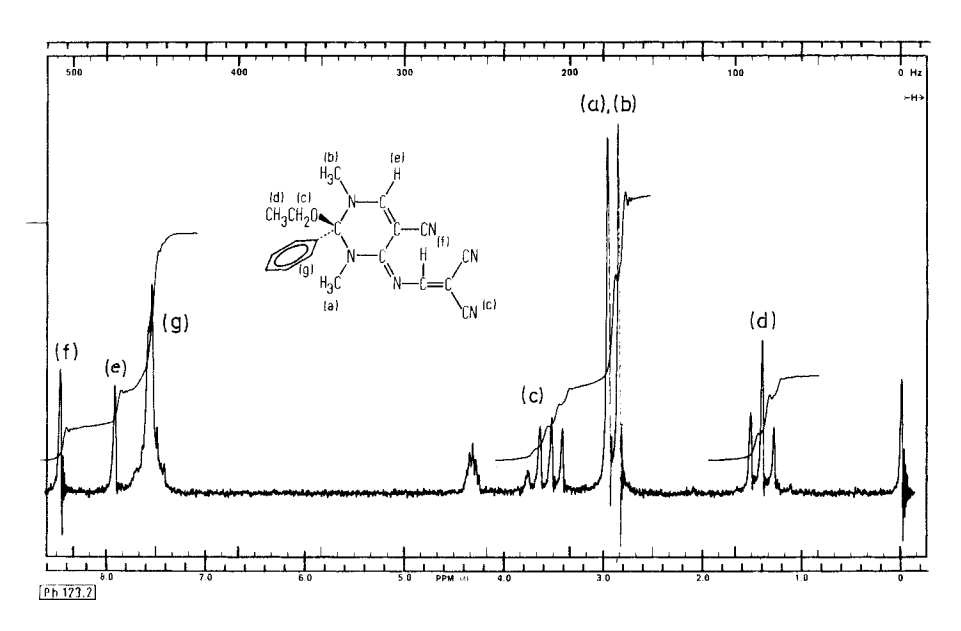


Abb. 2: <sup>1</sup>H-NMR-Spektrum von 6 in CD<sub>3</sub>NO<sub>2</sub>

gegenüber 6 oder 7) und der Protonen an den sp²-Kohlenstoffen. Entscheidenden Aufschluß über die Struktur der Produkte 5,6 und 7 liefert aber erst die <sup>13</sup>C-NMR-Spektroskopie. Die chemischen Verschiebungen und C,H-Kopplungen aller 17 Kohlenstoffatome sind für 5 und 6 in Tab. 1 zusammengestellt. In dem für Nitrilkohlenstoffe typischen Bereich erscheinen jeweils drei Resonanzen, die in 5 um etwa 2–3 ppm gegenüber 6 paramagnetisch verschoben sind. Beim Übergang von einer Nitrilgruppe zum Cyanidion ändert sich die chemische Verschiebung bekanntlich in gleicher Richtung²). Sämtliche Cyankohlenstoffsignale spalten im "gated"-Spektrum zum Dublett auf; dabei zeichnen sich C-11 und C-12 durch eine cis-Kopplung (<sup>3</sup>J<sub>C,H</sub>= 2–5 Hz) und C-10 durch eine größere trans-Kopplung (<sup>3</sup>J<sub>C,H</sub>= 10–11 Hz) aus. Entsprechende Daten liefert das als Vergleich aufgenommene <sup>13</sup>C-NMR-Spektrum des Ethoxymethylenmalodinitrils (1) [vgl. Tab. 2], so

**Tab. 1:**  $^{13}C$ -NMR-Daten ( $D_6$ -DMSO) von 5 und 6

	5		6		
C-Atom	δ (ppm)	$J_{C,H}$ (± 0,5 Hz)	δ (ppm)	$J_{C,H}(\pm 0.5 Hz)$	
1-CH <sub>3</sub>	41,7	<sup>1</sup> J: 144,0 <sup>3</sup> J: 2,7	37,9	<sup>1</sup> J: 144,0 <sup>3</sup> J: 4,6	
3-CH <sub>3</sub>	37,1	<sup>1</sup> J: 144,7	31,9	<sup>1</sup> J: 142,1	
C-2	161,3	m	99,4	m	
C-4	156,5	m	158,7	m	
C-5	51,4	<sup>2</sup> J: 10,8	58,2	<sup>2</sup> J: 10,2	
C-6	84,8	<sup>1</sup> J: 169,1 <sup>3</sup> J: 2,8	157,3	<sup>1</sup> J: 184,2 <sup>3</sup> J: 3,9	
C-8	164,4	<sup>1</sup> J: 162,9	164,5	<sup>1</sup> J: 168,4	
C-10	116,7	<sup>3</sup> J: 10,2	115,0	<sup>3</sup> J: 10,3	
C-11 C-12	118,7 119,2	<sup>3</sup> J: 3,2 <sup>3</sup> J: 3,7	116,7 117,2	<sup>3</sup> J: 4,4 <sup>3</sup> J: 4,2	
C-13	60,6	<sup>1</sup> J: 142,9 <sup>2</sup> J: 4,6	58,2	<sup>1</sup> J: 143,9 <sup>2</sup> J: 4,3	
C-14	15,1	<sup>1</sup> J: 126,9 <sup>2</sup> J: 3,0	14,1	<sup>1</sup> J: 126,8 <sup>2</sup> J: 2,7	
C-1'	127,6	m	137,0	m	
C- 2' C- 6'	129,9	<sup>1</sup> J: 163,9	128,9	<sup>1</sup> J: 161,8	
C-3' C-5'	127,3 127,1	<sup>1</sup> J: 162,3	126,3	<sup>1</sup> J: 162,1	
C-4'	132,4	<sup>1</sup> J: 163,7	130,3	<sup>1</sup> J: 163,0	
C-9	66,3	<sup>2</sup> J: 3,7	70,6	<sup>2</sup> J: 2,1	

daß das exocyclische Methylenmalodinitril-Fragment 9 in 5 und 6 sowie das endocyclische Strukturelement 10 in 6 (wie auch mit C-C-Einfachbindung in 5) als gesichert gelten können.

Tab. 2: 13C-NMR-Daten (D<sub>6</sub>-DMSO) von 1

δ (ppm)		J <sub>C, H</sub> (Hz)			
C-1	174,8	1 J ;	186,1	H <sub>5</sub> C <sub>2</sub> O 1 H	
C-2	74,8	2 J:	11,4	Ĭ	
C-3	109,9	3Ј:	10,1	ارد کارگری	
C-4	111,9	3 J:	3,9	NI Z ZN	

10

Tab. 3: Vergleich einiger 13C-Verschiebungen von 4, 5 und 6

		4	4 · HCl	6	5
N-	C-1' (ppm)	135,2	127,3	137,0	127,6
N— N—	C-4' (ppm)	128,2	132,0	130,3	132,4

Für eine über das Benzamidinsystem delokalisierte positive Ladung im Zwitterion 5 sprechen analoge chemische Verschiebungen von C-1' bis C-4' und C-2 im Vergleich zum N,N'-Dimethylbenzamidiniumchlorid (4 · HCl). Bemerkenswert ist beispielsweise die deutliche Hochfeldverschiebung von C-1' beim Übergang von 4→4 · HCl und von 6→5, die als Folge einer Verstärkung der Bindung (C-1')–(C-2) gedeutet werden kann, und zwar durch partielle Delokalisierung der positiven Ladung in den Phenylring. Dieser mesomere Effekt äußert sich erwartungsgemäß auch in einer Tieffeldverschiebung des p-ständigen C-4'. 6 enthält demnach kein Benzamidiniumkation mehr als Strukturelement, was auch mit der hochfeldigen Resonanzlage der N-Methylprotonen von 6 im Einklang steht. Die Umwandlung des sp³-hybridisierten C-6 in 5 zu einem sp²-hybridisierten in 6 wird ebenfalls vom ¹³C-NMR-Spektrum bestätigt. Als Bindungspartner für die von C-6 abgelöste Ethoxygruppe bleibt von den Kohlenstoffatomen des Ringes nur C-2 übrig. Das exocyclische C-8 scheidet aus, weil dann die beiden Nitrilkohlenstoffe C-10 und C-11 magnetisch äquivalent werden müßten.

Weniger erfolgreich verliefen Reaktionen des N,N'-Dimethylbenzamidins (4) mit den Methoxyalkylidenmalodinitrilen 11a-d in siedendem Benzol. So beobachteten wir mit 11a-b lediglich die Bildung von undefinierbaren, teerigen Produkten, vermutlich als Folge einer primären Deprotonierung der Methyl- bzw. Methylengruppe durch das stark basische Amidin. Mit 11c fand überhaupt keine Umsetzung statt, während mit 11d nur die

Bildung von N,N,N'-Trimethylbenzamidin <sup>1</sup>H-NMR-spektroskopisch nachgewiesen werden konnte. In siedendem Nitromethan entstand aus **4** und **11d** jedoch in 85proz. Ausbeute das Salz **12.** Dabei addiert sich das von dem Benzamidin deprotonierte Lösungsmittel an die aktivierte Doppelbindung von **11d**; eine Eliminierung von Methanol liefert **12.** 

4 + 11d + 
$$CH_3 - NO_2$$

12

14 +  $H - C \equiv C - C00C_2H_5$ 

13

Die Umsetzung von 4 mit Propiolsäureethylester (13) führt zum erwarteten Michaeladdukt 14 mit trans-konfigurierter Doppelbindung. Die N-Methylprotonen sind magnetisch nicht äquivalent ( $\Delta\delta=11$  Hz) und koaleszieren auch nicht beim Erwärmen in Diphenylether bis 208°. Damit ist eine gegenüber der <sup>1</sup>H-NMR-Zeitskala schnelle 1,3-Verschiebung des Acrylester-Substituenten in 14 ausgeschlossen.

Dem Fonds der Chemie danken wir für die Unterstützung dieser Arbeit.

# **Experimenteller Teil**

Schmp.: Linströmgerät (unkorr.). IR-Spektren: Perkin-Elmer PE 257. <sup>1</sup>H-NMR-Spektren: Varian T-60 und A 60-A. <sup>13</sup>C-NMR-Spektren: Varian XL-100.

N-[6-(5-Cyan-1,3-dimethyl-4-ethyl-2-phenyl-3,4-dihydro)pyrimidinio]iminomethyl-dicyan-methanid (5)

Zu 4,88 g (0,04 mol) Ethoxymethylenmalodinitril (1) in 150 ml Methylenchlorid wird bei  $-60^{\circ}$  unter kräftigem Rühren und unter Feuchtigkeitsausschluß innerhalb 15 min. eine Lösung von 8,89 g (0,06 mol) N,N'-Dimethylbenzamidin (4) in 50 ml Methylenchlorid getropft. Nach weiteren 2 h wird der Niederschlag auf einer vorgekühlten Fritte gesammelt, mit 50 ml einer eiskalten Ether/Methylenchlorid- (1/1)-Mischung gewaschen und sofort i. Hochvak. getrocknet. 4,5 g (65 %) eines feinkristallinen, weißgelben Pulvers, das sich sowohl im festen wie im gelösten Zustand unter Gelb- bis Rotfärbung allmählich zersetzt. Schmp. >150° (Zers.).  $C_{19}H_{18}N_6O$  (346,4) Ber.:  $C_{19}H_{18}N_6O$  (346,4) Ber.:  $C_{19}H_{18}N_6O$  (346,4) Gef.:  $C_{19}H_{18}N_6O$  (346,4) Gef.:  $C_{19}H_{18}N_6O$  (346,4) Ber.:  $C_{19}H_{18}N_6O$  (346,4) Ber.:  $C_{19}H_{18}N_6O$  (346,4) Gef.:  $C_{19}H_{18}N_6O$  (346,4) Ber.:  $C_{19}H_{18}N_6O$  (346,4) Gef.:  $C_{19}H_{18}N_6O$  (346,4) Ber.:  $C_{19}H_{18}N_6O$  (346,4) Ber.:  $C_{19}H_{18}N_6O$  (346,4) Gef.:  $C_{19}H_{18}N_6O$  (346,

5-Cyan-1,3-dimethyl-2-ethoxy-4-(2,2-dicyan)ethenylimino-2-phenyl-1,3-diaza-5-cyclohexen (6)

1,00 g (0,0029 mol) 5 wird in 20 ml absol. Ethanol zum Sieden erhitzt und unter Rückfluß tropfenweise solange mit weiterem Ethanol versetzt, bis man eine klare Lösung erhält. Aus dem heißen Filtrat fallen beim langsamen Abkühlen auf Raumtemp. 0,80 g (80 %) gelbe Kristalle vom Schmp. 214° analytisch rein aus.  $C_{19}H_{18}N_6O$  (346,4) Ber.: C 65,9 H 5,24 N 24,3; Gef.: C 65,6 H 5,29 N 24,3. IR(KBr): 2220 s und 2210 s ( $C\equiv N$ ), 1635 cm  $^{-1}$  (C=N).

5-Cyan-1,3-dimethyl-4-(2,2-dicyan)ethenylimino-2-methoxy-2-phenyl-1,3-diaza-5-cyclohexen (7)

7 wird wie 6 in 85-proz. Ausbeute dargestellt, anstelle von Ethanol verwendet man entsprechend Methanol. Blaßgelbe Kristallnadeln vom Schmp. 212°.  $C_{18}H_{16}N_6O$  (331,4) Ber.: C 65,1 H 4,85 N 25,3; Gef.: C 64,7 H 4,88 N 25,5. IR(KBr): 2220 s und 2210 s (C=N), 1635 cm<sup>-1</sup> s (C=N). <sup>1</sup>H-NMR(CDCl<sub>3</sub>):  $\delta$  (ppm) = 2.80 (s, N-CH<sub>3</sub>), 2.85 (s,N-CH<sub>3</sub>), 3.35 (s, O-CH<sub>3</sub>), 7.50 (s, Phenyl-H), 7.68 (s, -CH=), 8.53 (s, -CH=C(CN)<sub>2</sub>).

N,N'-Dimethylbenzamidinium-1,1-dicyan-3-nitro-2-phenyl-2-propen-1-id (12)

1,48 g (0,01 mol) 4 und 1,84 g (0,01 mol) 1-Methoxy-1-phenyl-2,2-dicyanoethylen (11d)<sup>3,4)</sup> werden in 50 ml frisch dest. Nitromethan unter Rühren 2 h am Rückfluß gekocht. Anschließend zieht man das Lösungsmittel i. Vak. ab und kristallisiert den Rückstand aus Acetonitril/Chloroform um. 3,07 g (85 %) gelbe Kristalle vom Schmp. >109° (Zers.).  $C_{20}H_{19}N_5O_2$  (361,4) Ber.: C 66,5 H 5,30 N 19,4; Gef.: C 66,3 H 5,44 N 19,6. IR(KBr): 3330 m und 3250 m (breit, NH), 2220 s und 2190 s ( $C\equiv N$ ), 1655 cm<sup>-1</sup> s.  $^1$ H-NMR(CD<sub>3</sub>CN):  $\delta$  (ppm) = 2.87 (s, N-CH<sub>3</sub>), 6.07 (bs, N-H), 6.97 (s, =CH-), 7.33 (m, Phenyl-H), 7.55 (m, Benzamidinaromat).

3-[N-Methyl-N-(N-methyl)benzimidoyl]amino-acrylsäure-ethylester (14)

Eine Lösung von 1,48 g (0,01 mol) 4 in ca. 50 ml CCl<sub>4</sub> wird mit 0,98 g (0,01 mol) Propiolsäureethylester (13) 1 h bei 40° gerührt. Anschließend zieht man das Lösungsmittel i. Vak. ab und entfernt die letzten Reste an der Ölpumpe. Aus dem öligen Rückstand kristallisieren nach Zusatz von wenig Ether und Anreiben mit dem Glasstab 1,50 g (61 %) farblose Nadeln vom Schmp. 55°.

 $\begin{array}{l} C_{14}H_{18}N_2O_2\left(246,3\right)\,Ber.:\,C\,68,3\,H\,7,37\,N\,11,4;\,Gef.:\,C\,68,3\,H\,7,63\,N\,11,3.\,IR\,\left(KBr\right):\,3060\,m,\,3050\,m,\,2860\,m,\,1645\,s\,\left(CN_2\right),\,1610\,cm^{-1}\,s\,\left(breit\right).\,{}^{1}H-NMR(CCl_4):\,\delta\,\left(ppm\right)\,=\,1.13\,\left(t,\,J\,=\,7.0,\,C-CH_3\right),\,2.88\,\left(s,\,N'-CH_3\right),\,3.22\,\left(s,\,N-CH_3\right),\,4.00\,\left(q,\,J\,=\,7.0,\,O-CH_2^-\right),\,4.91\,\left(d,\,J_{(trans)}\,=\,14.0,\,=CH_-\right),\,7.13\,\left(m,\,H_o\right),\,7.47\,\left(m,\,H_m\,und\,H_p\right),\,7.48\,\left(d,\,J\,=\,14.0,\,N-CH_=\right). \end{array}$ 

#### Literatur

- E. C. Taylor und A. McKillop in Advances in Organic Chemistry, Bd. 7, S. 105, J. Wiley, New York 1970.
- 2 E. Breitmaier und W. Voelter, <sup>13</sup>C-NMR-Spectroscopy, S. 71–72, Verlag Chemie, Weinheim 1974.
- 3 A. Dornow und E. Schleese, Chem. Ber. 91, 1830 (1958).
- 4 H. Graboyes, G. E. Jaffe, I. J. Pachter, J. P. Rosenbloom, A. J. Villani, J. W. Wilson und J. Weinstock, J. Med. Chem. 11, 568 (1968).

[Ph 123]

Arch. Pharm. (Weinheim) 313, 215-220 (1980)

# Zur Rotationshinderung N,N,N'-trisubstituierter Amidine

Hans-Michael Wolff und Klaus Hartke\*

Institut für Pharmazeutische Chemie der Universität Marburg, Marbacher Weg 6, D-3550 Marburg/Lahn

Eingegangen am 22. Mai 1979

Die Alkylierung von N,N'-Dimethylbenzamidin (4) mit Chlordimethylether bzw. Allyliodid liefert die N-trisubstituierten Amidine 5a und 5d; das Li-Salz von 4 setzt sich mit Chlordimethylsulfid bzw. Chlormethyl-diethylamin zu 5b und 5c um. Bis zu Temperaturen von 175° läßt sich <sup>1</sup>H-NMR-spektroskopisch keine [1.3]sigmatrope Umlagerung feststellen; unterhalb Raumtemp. beobachtet man Rotationshinderung um die C-N-Einfachbindung.

## Hindered Rotation in N,N,N'-Trisubstituted Amidines

Alkylation of N,N'-dimethylbenzamidine (4) with chloromethyl methyl ether and allyl iodide leads to the formation of the N-trisubstituted amidines 5a and 5d; the lithium salt of 4 yields 5b and 5c with chloromethyl methyl sulfide and (chloromethyl)diethylamin, respectively. At temperatures up to 175°C no [1,3]sigmatropic rearrangement can be detected by 'H-NMR spectroscopy; below room temperature a hindered rotation around the C-N single bond is observed.